

03;04

©1994

# ПОЛНОЕ ДАВЛЕНИЕ ЗА УДАРНОЙ ВОЛНОЙ В СЛАБОИОНИЗОВАННОМ ВОЗДУХЕ

Г.И.Мишин

Сложная структура ударной волны (УВ) в слабоионизованном воздухе, обнаруженная в работах [1–4], объясняется существованием в газоразрядной плазме специфического механизма формирования и распространения возмущений. Фронт УВ в плазме оказывается сильно размытым, появляется предвестник и опережающий его лидер, то есть УВ трансформируется в трехволновую конфигурацию.

Однако замена одного скачка несколькими более слабыми должна приводить к уменьшению суммарного скачка энтропии и, следовательно, снижению потерь полного давления (давления торможения).

Величину полного давления за УВ в плазме можно определить, анализируя результаты экспериментов в воздухе, описанные в [4]. Там представлены данные одновременных измерений профилей плотности (интерферометр Майкельсона, рис. 1, а) и давления (пьезодатчик, рис. 1, б) в УВ в нестационарной импульсной (время горения менее 1 мс, средняя плотность тока  $40 \text{ Ma/cm}^2$ ) холодной (газодинамическая температура  $T_1 \leq 300 \text{ K}$ ) плазме, создаваемой в диафрагменной ударной трубе прямоугольного сечения  $10 \times 10 \text{ см}$ . Рабочий газ — воздух при давлении  $P_1 = 5 \text{ Тор}$ . Температура электронов  $T_e = 1 - 2 \text{ эВ}$ , концентрация электронов  $n_e = 3 \cdot 10^{10} \text{ см}^{-3}$ . Скорость входа УВ в рабочую зону ударной трубы  $V = 1500 \text{ м/с}$ .

Поскольку структура ударной волны в плазме зависит от нескольких параметров, в том числе температуры, длины свободного пробега и концентрации электронов, то вычисление давления торможения  $P_t$  по результатам экспериментов в ударной трубе в настоящее время не является надежным. Поэтому о влиянии ионизации на полное давление будем судить по изменению давления  $P_{2\pi}$  на контактной поверхности по сравнению со случаем неионизованного воздуха  $P_2$ .

Примем во внимание, что при скорости УВ около  $1500 \text{ м/с}$  давление торможения менее чем на 4% превышает  $P_2$ . Таким образом, давление на контактной поверхности в данном случае является хорошим приближением к величине полного давления.

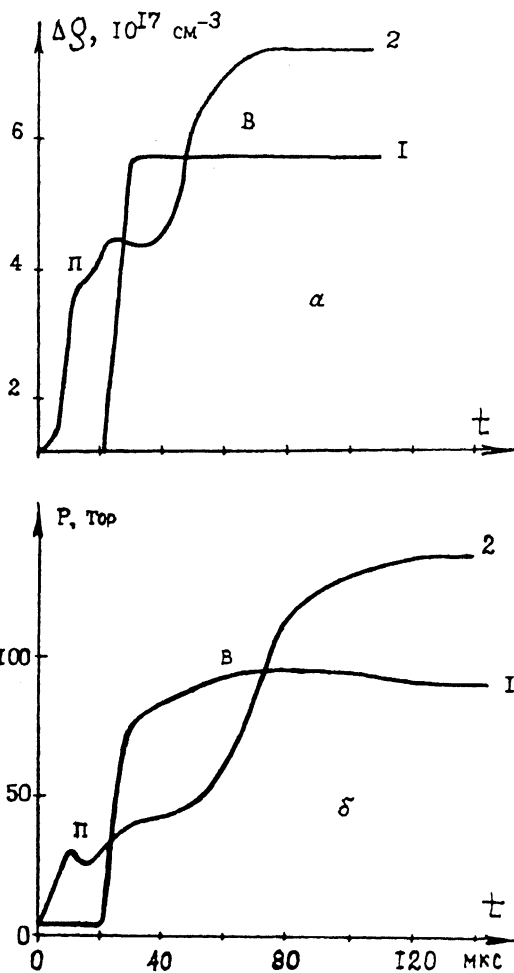


Рис. 1. Изменение плотности (а) и давления (б) в ударной волне в нестационарной плазме воздуха — (1) и неионизованном воздухе — (2).  $\Pi$  — предвестник, В — волна. Температура  $T_1 \leq 300$  К, давление  $P_1 = 5$  Тор, скорость входа ударной волны в плазму  $V = 1500$  м/с.

Рассмотрение экспериментальных данных рис. 1, а, б показывает, что  $P_{2\Pi}/P_2 \approx 1.5$ , а  $\rho_{2\Pi}/\rho_2 \approx 1.3$ , т.е. давление ионизованного воздуха на границе с контактной поверхностью оказывается примерно на 50% большим по сравнению с соответствующим значением в воздухе практически при тех же начальных условиях.

Обратимся теперь к результатам исследования обтекания тел в слабоионизованном воздухе на баллистической установке [5].

Эксперименты были проведены в протяженном стационарном разряде при давлении  $P_1 = 40$  Тор и газокинетической температуре  $T_1 = 1350$  К (отношение удельных теплоемкостей  $\gamma = 1.33$ ,  $a_t = 717$  м/с). Диапазон скоростей моделей  $V$  охватывал интервал  $\sim 1300 - 2300$  м/с (от  $M = 1.81$  до  $M = 3.2$ ), что соответствовало более чем трехкратному изменению интенсивности УВ.

Анализ результатов экспериментов привел к констатации факта, что числа Маха полета сферы в низкотемпературной плазме, рассчитанные с использованием "тепловой" скорости звука

$$a_t = \sqrt{\gamma r T / \mu}$$

( $R$  — универсальная газовая постоянная,  $\mu$  — молекулярный вес), не соответствует регистрируемым величинам отхода УВ.

Для объяснения обнаруженного явления была выдвинута версия, что в ионизованном воздухе скорость распространения слабых возмущений, называемая в дальнейшем "плазменной" скорость звука  $a_*$ , значительно превосходит  $a_t$ , достигая в условиях данных экспериментов при температуре электронов 1–2 эВ величины  $\sim 1084$  м/с.

Дальнейшее рассмотрение результатов экспериментов позволило сделать вывод об обоснованности данного предположения.

В защиту реальности "плазменной" скорости звука можно высказать конкретные аргументы.

Во-первых, величина  $a_*$  остается практически постоянной во всем диапазоне исследованных скоростей, т. е. при изменении интенсивности УВ более чем в три раза.

Во-вторых, форма головной УВ в плазме при числе Маха, рассчитываемом по  $a_*$ , была практически идентичной форме УВ перед сферой в неионизованном воздухе при том же числе Маха [6], т. е. участок УВ вблизи нулевой линии тока не имел каких-либо особенностей по сравнению с периферийными участками. Это свидетельствует о том, что динамические свойства газоразрядной плазмы достаточно изотропны и, следовательно, УВ не стимулирует в плазме значительные энергетические процессы, способные привести к увеличению скорости возмущений.

В-третьих, с помощью датчиков давления и ФЭУ было установлено, что в случае входа сферы в плазму со скоростью  $v \leq 1100$  м/с УВ отделяется от сферы на большое расстояние и реализуется типичное дозвуковое обтекание.

Таким образом, именно "плазменная" скорость звука, поскольку она фактически всегда больше  $a_t$ , определяет число Маха и характер обтекания тел в слабоионизованном газе, по-видимому независимо от величины его газокинетической температуры.

Опираясь на сформулированное выше заключение о существовании "плазменной" скорости звука и принимая во внимание отмеченные выше результаты исследования УВ в воздушной плазме, можно оценить величину полного давления при сверхзвуковом движении в ионизованном воздухе.

С целью упрощения расчетов и их наглядности во всех областях течения как плазмы, так и воздуха при температуре плазмы будем полагать удельную теплоемкость постоянной, т. е.  $\gamma = 1.33 = \text{const}$ .

Используя "плазменную" скорость звука, найдем число Маха сферы, летящей со скоростью  $V$  в ионизованном воздухе:

$$M_* = v/a_*,$$

что дает возможность установить значения всех параметров УВ (скачка давления на фронте  $P_{2*}/P_1$ , плотности  $\rho_{2*}/\rho_1$  и температуры  $T_{2*}/T_1$ ). При этом

$$\frac{P_{2*}}{P_1} = \frac{2\gamma}{\gamma+1} M_*^2 - \frac{\gamma-1}{\gamma+1}.$$

Сделанное допущение относительно постоянства удельной теплоемкости позволяет записать отношение температуры торможения к статической температуре, одинаково применяемое для плазмы и неионизованного воздуха:

$$\frac{T_t}{T_1} = 1 + \frac{\gamma-1}{2} M^2, \text{ здесь } M = V/a_t.$$

Отсюда для отношения температуры торможения к температуре за фронтом УВ получаем

$$\frac{T_t}{T_{2*}} = \left( 1 + \frac{\gamma-1}{2} M^2 \right) \frac{(\gamma+1)^2 M_*^2}{[2\gamma M_*^2 - (\gamma-1)][(\gamma-1)M_*^2 + 2]}.$$

В целом уравнение для расчетов полного давления в ионизованном воздухе имеет вид

$$\frac{P_{t*}}{P_1} = \left[ 1 + \frac{2\gamma}{\gamma+1} (M_*^2 - 1) \right] \times \\ \times \left\{ \left( 1 + \frac{\gamma-1}{2} M^2 \right) \frac{(\gamma+1)^2 M_*^2}{[2\gamma M_*^2 - (\gamma-1)][(\gamma-1)M_*^2 + 2]} \right\}^{\frac{\gamma}{\gamma-1}}.$$

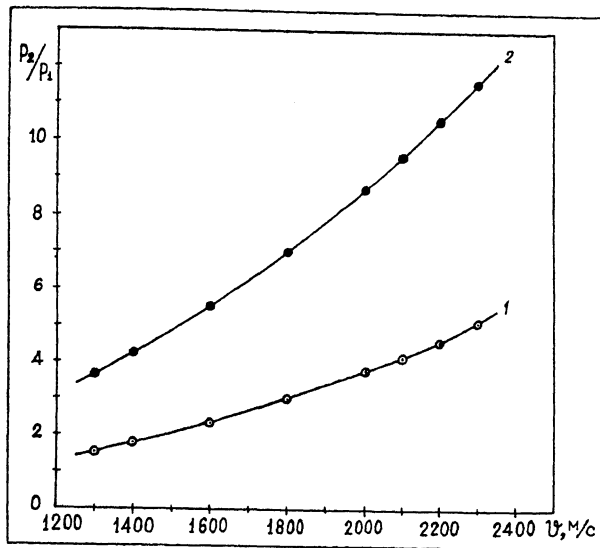


Рис. 2. Расчеты скачка давления на фронте ударной волны в ионизованном (1) и неионизованном воздухе (2) в зависимости от скорости движения волны  $v$ .

При  $M_* = M$  это выражение преобразуется в формулу Рэлея для полного давления в обычном неионизованном газе.

Величины скачка давления на фронте УВ в плазме и воздухе при одинаковой температуре  $T_1 = 1350$  К представлены в функции от скорости движения волны  $V$  на рис. 2.

Сравнение приведенных величин показывает, что при одной и той же скорости  $v$  интенсивность УВ в ионизованном воздухе примерно вдвое меньше, чем в неионизованном воздухе. Это различие возрастает при уменьшении температуры воздуха. Так, например, при  $T_1 \sim 300$  К и  $v = 1800$  м/с  $P_{2*}/P_1$  составляет уже около  $0.1 P_2/P_1$ .

Результаты расчетов  $P_{t*}/P_1$  и  $P_t/P_1$  также в зависимости от скорости УВ  $v$  приведены на рис. 3.

Из рассмотрения графиков видно, что кривая 1 для полного давления в плазме  $P_{t*}/P_1(v)$  проходит много выше, чем кривая 2  $P_t/P_1(v)$  для воздуха, т.е. даже при малой степени ионизации ( $\alpha \sim 10^{-6}$ ) происходит значительное восстановление полного давления. Причем отношение полного давления в плазме к соответствующему полному давлению в воздухе растет с увеличением скорости. Так, например, при  $v = 1600$  м/с  $P_{t*}/P_t \approx 1.3$ , а при  $v = 2300$  м/с  $P_{t*}/P_t \approx 2.6$ .

Следует также упомянуть, что  $P_{t*}/P_t$  быстро возрастает при уменьшении температуры  $T_1$ .

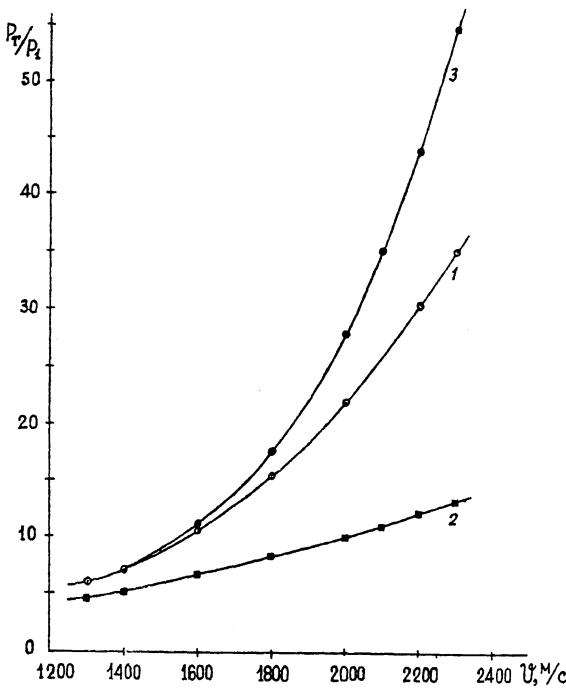


Рис. 3. Результаты расчетов отношения полного давления  $P_t$  к статическому давлению  $P_1$  в ионизованном (1) и неионизованном воздухе (2) в зависимости скорости ударной волны  $v$ . Параметры плазмы и воздуха такие же, как на рис. 2.

На рис. 3 нанесены также ориентировочные значения относительного полного давления при адиабатическом торможении воздуха  $P_{t0}/P_1$  (кривая 3). Сопоставление кривых 1 и 3 указывает на то, что в ионизованном воздухе достигаются большие значения коэффициента восстановления полного давления  $P_{t*}/P_{t0}$ .

В заключение отметим, что выводы, вытекающие из данной газодинамической модели УВ в газоразрядной воздушной плазме, находятся в полном соответствии с представленными в начале статьи результатами исследования УВ в ударной трубе.

Предложенная схема оценок параметров УВ в слабоионизованном воздухе вследствие сделанных допущений показывает феноменологическую картину явления и ее использование требует предварительного экспериментального определения "плазменной" скорости звука.

Для построения физически обоснованной модели УВ в плазме необходимо изучение механизма коллективного взаимодействия заряженных и нейтральных частиц, приводящего к возникновению аномально высокой скорости распространения возмущений давления и плотности.

## Список литературы

- [1] Басаргин И.В., Мишин Г.И. // Письма в ЖТФ. 1989. Т. 15. В. 8. С. 55.
- [2] Климов А.И., Мишин Г.И. // Письма в ЖТФ. 1990. Т. 16. В. 24. С. 89.
- [3] Мишин Г.И., Климов А.И., Гридин А.Ю. // Письма в ЖТФ. 1992. Т. 18. В. 6. С. 37.
- [4] Мишин Г.И., Климов А.И., А.И. Гридин // Письма в ЖТФ. 1991. Т. 17. В. 16. С. 84.
- [5] Мишин Г.И., Серов Ю.Л., Явор И.П. // Письма в ЖТФ. 1991. Т. 17. В. 11. С. 65.
- [6] Масленников В.Г. Аэрофизические исследования сверхзвуковых течений. Сб. ст. / Под ред. Ю.А. Дунаева. М.; Л., 1967. С. 256–264.

Физико-технический  
институт им. А.Ф. Иоффе  
Санкт-Петербург

Поступило в Редакцию  
31 августа 1994 г.

---